

# Un modèle instationnaire pour l'électroencéphalographie en vue de la compréhension du couplage neuro-vasculaire

Benjamin SULIS

LMR UMR CNRS 9008 - Université de Reims Champagne-Ardenne  
SMAI 2021

21 juin 2021

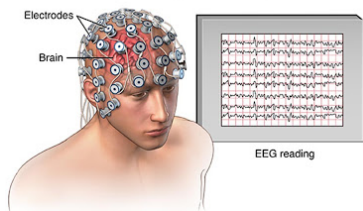


## 1 Contexte et modélisation

- L'électroencéphalographie
- Approximation quasi-stationnaire des équations de Maxwell
- Modélisation de l'activité électrique neuronale

## 2 Potentiel d'action et potentiel post-synaptique

- Modèle d'Hodgkin-Huxley
- Courant post-synaptique
- Potentiel électrique aux électrodes



- Mesurer l'activité électrique cérébrale
- Non invasif
- Jusqu'à 128 électrodes
- Très bonne résolution en temps [ms]
- Résolution spatiale à améliorer [cm]

## Objectif

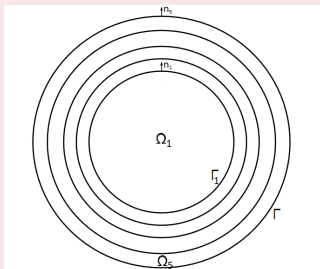
Introduire la dépendance en temps pour le couplage neuro-vasculaire.

## Modèle direct EEG indépendant du temps

Le potentiel électrique  $u$  est solution de

$$\begin{cases} \nabla \cdot (\sigma \nabla u) = F & (\Omega) \\ \sigma \partial_n u = 0 & (\Gamma) \end{cases}$$

avec  $\sigma$  conductivité électrique des tissus biologiques.



## Terme source dipolaire

$$F = \sum_{m=1}^M \mathbf{q}_m \cdot \nabla \delta_{S_m}$$

où  $\mathbf{q}_m \in \mathbb{R}^d$  le moment et  $S_m \in \Omega_2$  la position de la source d'activité neuronale.

## Equations de Maxwell

Le champ électrique  $\mathbf{E}$  et le champ magnétique  $\mathbf{B}$  vérifient les équations :

$$\nabla \cdot \mathbf{B} = 0 \quad (\text{M-T})$$

$$\nabla \times \mathbf{B} = \mu(\mathbf{J} + \varepsilon\partial_t\mathbf{E}) \quad (\text{M-A})$$

$$\nabla \times \mathbf{E} = -\partial_t\mathbf{B} \quad (\text{M-F})$$

$$\nabla \cdot \mathbf{E} = \frac{\rho}{\varepsilon} \quad (\text{M-G})$$

## Paramètres de l'équation

- $\ell$  [m]
- $\tau$  [s]
- $\varepsilon$  [F.m<sup>-1</sup>] (permittivité)
- $\mu$  [H.m<sup>-1</sup>] (perméabilité)
- $\sigma$  [S.m<sup>-1</sup>] (conductivité)

## Motivation

A-t-on réellement besoin de résoudre les équations de Maxwell pour la modélisation de l'EEG ?

## Approximation quasi-statique

Soit  $v = \ell/\tau$  la vitesse du système et  $c = 1/\sqrt{\varepsilon\mu}$  la vitesse de la lumière dans le milieu. On parle d'approximation quasi-statique quand  $v \ll c$ .

**Idée :** Exprimer les quantités sans dimension<sup>1</sup>. Soit  $\mathbf{E} = e\mathbf{E}'$  et  $\mathbf{B} = b\mathbf{B}'$ .

## Trois temps caractéristiques

$\tau_e = \varepsilon/\sigma$  temps de diffusion de la charge électrique

$\tau_m = \mu\sigma\ell^2$  temps de diffusion de la densité de courant

$\tau_{em} = \ell/c$  temps de propagation de l'onde électromagnétique

---

1. Rapetti, F. Electromagnetic quasi-static models applied to transmission lines. Computing 95, 599–616 (2013)

## Maxwell-Faraday

$$\begin{aligned}\nabla \times \mathbf{E} = -\partial_t \mathbf{B} &\Leftrightarrow \nabla' \times \frac{e}{\ell} \mathbf{E}' = -\frac{b}{\tau} \partial_{t'} \mathbf{B}' \\ &\Leftrightarrow \nabla' \times \mathbf{E}' = -\frac{\ell b}{\tau e} \partial_{t'} \mathbf{B}' \\ &\Leftrightarrow \nabla' \times \mathbf{E}' = -\frac{\tau_{em}}{\tau} \frac{cb}{e} \partial_{t'} \mathbf{B}'\end{aligned}$$

## Maxwell-Ampère

$$\nabla \times \mathbf{B} = \mu(\sigma \mathbf{E} + \varepsilon \partial_t \mathbf{E}) \Leftrightarrow \nabla' \times \mathbf{B}' = \frac{\tau_{em}}{\tau} \frac{e}{cb} \partial_{t'} \mathbf{E}' + \frac{\tau_{em}}{\tau_e} \frac{e}{cb} \mathbf{E}'$$

## Paramètres dans le scalp

- $\ell = 4 \times 10^{-3}$  [m]
- $\tau = 10^{-2}$  [s]
- $\varepsilon = 4.9 \times 10^{-7}$  [F.m<sup>-1</sup>]
- $\mu = 4\pi \times 10^{-7}$  [H.m<sup>-1</sup>]
- $\sigma = 4 \times 10^{-2}$  [S.m<sup>-1</sup>]

On calcule les trois temps :

- $\tau_m = 8.04 \times 10^{-13}$
- $\tau_{em} = 3.1 \times 10^{-9}$
- $\tau_e = 1.2 \times 10^{-5}$

On a  $\tau_m \ll \tau_{em} \ll \tau_e$  et  $\tau_e \ll \tau$ .

## Approximation quasi-stationnaire

On peut montrer que dans ce cas  $cb \ll e$  et on obtient

$$\nabla' \times \mathbf{E}' = -\frac{\tau_{em}}{\tau} \frac{cb}{e} \partial_{t'} \mathbf{B}' \Rightarrow \nabla \times \mathbf{E} \approx 0$$

$$\nabla' \times \mathbf{B}' = \frac{\tau_{em}}{\tau} \frac{e}{cb} \partial_{t'} \mathbf{E}' + \frac{\tau_{em}}{\tau_e} \frac{e}{cb} \mathbf{E}' \Rightarrow \nabla \times \mathbf{B} \approx \mu \mathbf{J}$$

# Vers une équation elliptique

## Approximation QS

Les équations sont alors

$$\nabla \cdot \mathbf{B} = 0 \quad (1)$$

$$\nabla \times \mathbf{B} = \mu \mathbf{J} \quad (2)$$

$$\nabla \times \mathbf{E} = 0 \quad (3)$$

$$\nabla \cdot \mathbf{E} = \rho/\varepsilon \quad (4)$$

- (3) :  $\mathbf{E} = -\nabla u$  avec  $u = u(\mathbf{t}, \mathbf{x})$
- Courant :  $\mathbf{J} = \mathbf{j}^p + \mathbf{j}^c$
- Loi d'Ohm :  $\mathbf{j}^c = \sigma \mathbf{E}$
- On remplace dans (2) et on applique l'opérateur divergence.

## Equation

$$\nabla \cdot (\nabla \times \mathbf{B}) = \mu \nabla \cdot (\mathbf{j}^p - \sigma \nabla u) \Leftrightarrow \nabla \cdot (\sigma \nabla u) = \nabla \cdot \mathbf{j}^p$$

## Terme source en temps

$$F(\mathbf{t}) := \nabla \cdot \mathbf{j}^p = \sum_{m=1}^M \mathbf{q}_m(\mathbf{t}) \cdot \nabla \delta_{S_m}$$

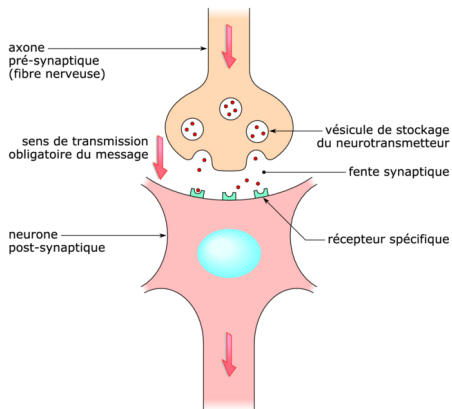
## 1 Contexte et modélisation

- L'électroencéphalographie
- Approximation quasi-stationnaire des équations de Maxwell
- Modélisation de l'activité électrique neuronale

## 2 Potentiel d'action et potentiel post-synaptique

- Modèle d'Hodgkin-Huxley
- Courant post-synaptique
- Potentiel électrique aux électrodes

# A l'échelle du neurone



- $I$  courant appliqué
- $V_{PA}$  potentiel d'action
- $V_{PS}$  potentiel post-synaptique
- $I_{PS}$  courant post-synaptique

## Modèle d'Hodgkin-Huxley

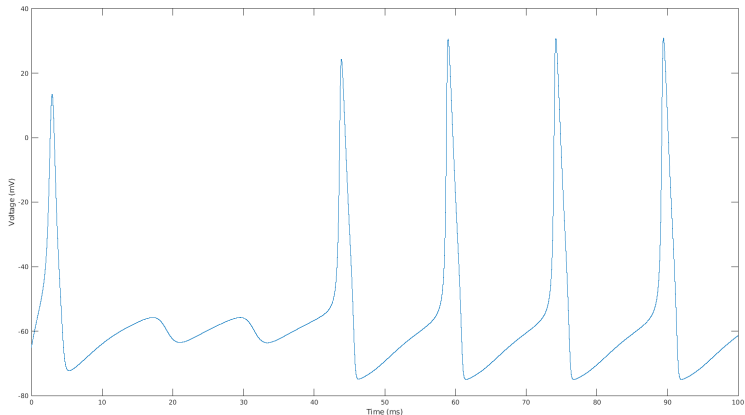
$$\begin{cases} -C \frac{dV_{PA}}{dt} = m^3 h \bar{g}_{Na} (V_{PA} - E_{Na}) + n^4 \bar{g}_K (V_{PA} - E_K) + \bar{g}_L (V_{PA} - E_L) - I \\ \frac{dn}{dt} = \alpha_n(V_{PA})(1 - n) - \beta_n(V_{PA})n \\ \frac{dm}{dt} = \alpha_m(V_{PA})(1 - m) - \beta_m(V_{PA})m \\ \frac{dh}{dt} = \alpha_h(V_{PA})(1 - h) - \beta_h(V_{PA})h \end{cases}$$

## Paramètres

Les constantes sont obtenues par des estimations et les fonctions  $\alpha_X$  et  $\beta_X$  dépendent de  $V_{PA}$ .

# Simulation d'un potentiel d'action

Résolution du système d'EDO avec un schéma d'Euler implicite sous Matlab.



Potentiel d'action  $V_{PA}$  pour une stimulation  $I$  de 9mA

## Potentiel post-synaptique

$$\begin{cases} -C \frac{dV_{PS}}{dt} = \bar{g}s(V_{PS} - \tilde{V}) \\ \frac{ds}{dt} = K_1[T](V_{PA})(1-s) - K_2s \end{cases}$$

## Lien avec le potentiel d'action

$[T]$  est la concentration en neurotransmetteurs donnée par

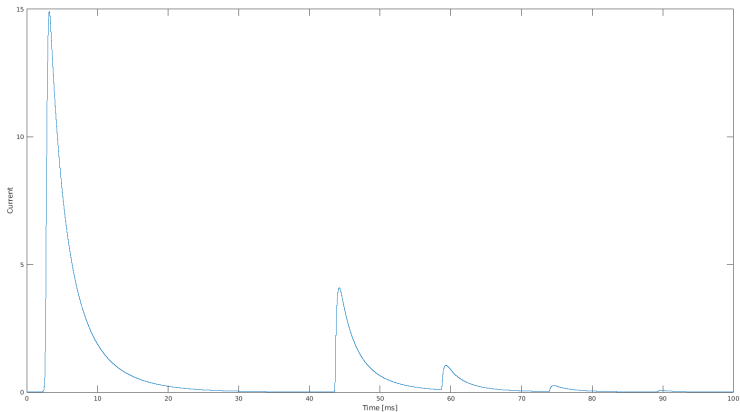
$$[T](V_{PA}) = \frac{T_{max}}{1 + \exp(-(V_{PA} - V_T)/K_p)}$$

## Courant post-synaptique

$$I_{PS} = \bar{g}s(V_{PS} - \tilde{V})$$

# Simulation d'un courant post-synaptique

Résolution du système d'EDO avec un schéma d'Euler implicite sous Matlab.



Courant  $I_{PS}$  pour le neurotransmetteur  $GABA_A$

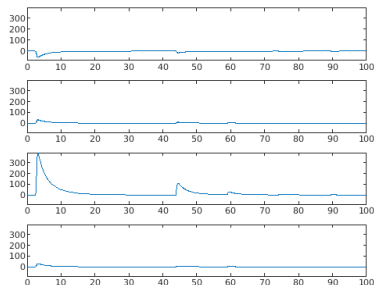
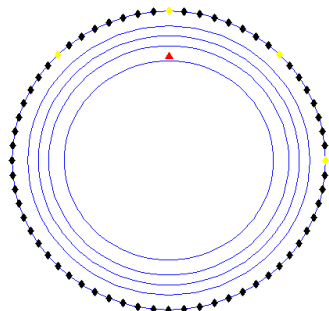
## Étapes de calcul du terme source $F$ du modèle EEG instationnaire :

- Résoudre le système d'EDO de Hodgkin-Huxley pour obtenir le potentiel d'action  $V_{PA}$
- Résoudre le système d'EDO qui donne le potentiel post-synaptique  $V_{PS}$  à partir du potentiel d'action  $V_{PA}$
- Calculer  $I_{PS}$  à partir de  $V_{PS}$ , puis poser  $\mathbf{q}_m(t) = I_{PS}(t)$  dans le terme source du modèle EEG

$$F(t) = \sum_{m=1}^M \mathbf{q}_m(t) \cdot \nabla \delta_{S_m}$$

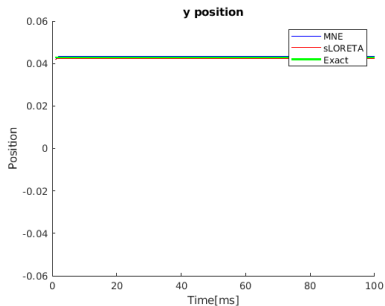
# Potentiel électrique aux électrodes

Résolution numérique du modèle direct EEG sous FreeFem++ (méthode de soustraction, éléments finis P1).



Source et placement des électrodes

Potentiel électrique (en mV) mesuré  
aux électrodes au cours du temps



- Mener ce travail pour la tomographie optique diffuse
- Proposer un modèle pour le couplage neuro-vasculaire

- Étude mathématique du problème direct (régularité en temps, sources mobiles)
- Analyse mathématique, théorique et numérique, du problème inverse de sources en EEG

